



www.cnrs.fr



Planche Photos

PaleoMex



Lagune de Kettana (Sud Tunisie). Prospection terrain dans le sud Tunisien. © Dezileau / PaleoMex.



Mélèze mort de la vallée des Merveilles, Mercantour (Juillet 2010). © Valérie Daux / PaleoMex.



Grotte Barbegrèze (Gorges du Gardon). Reconstitution des crues extrêmes des derniers millénaires à partir de l'étude de dépôts sédimentaires piégés dans des cavités des Gorges du Gardon. © Dezileau / PaleoMex.



www.cnrs.fr



HyMeX



Mesures de débit lors de phénomène de crue.
© B.Boudevillain.



Falcon20 instrumenté de l'unité SAFIRE en départ de mission de suivi d'évènement intense.
© P.Taburet.



Radar Mxpol de l'EPFL (Suisse), site de Montbrun.
© Grazioli.



Radar TARA de l'université de Delft (Pays-Bas), site de Candillargues. © C.Lebeau-pin-Brossier.



Bouée instrumentée Météo-France dans le Golfe du Lion, maintenance des capteurs HyMeX. © S.Belamari.



Radar bande X mobile du Laboratoire de Météorologie Physique (LaMP), à haute résolution spatiale et temporelle (90 m et 3 minutes) et d'une portée typique de 20 km. © LAMP/CNRS Photothèque / FRESILLON Cyril.





www.cnrs.fr



ChArMEx



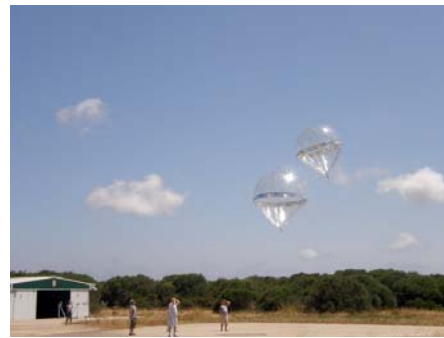
Cabine de l'ATR42 de SAFIRE, campagne ChArMEx, juin 2013. © Géraud Momboisse.



Couche limite planétaire de la cabine de l'ATR42 de SAFIRE, campagne ChArMEx, juin 2013. © Géraud Momboisse.



Instrumentations sols pour la caractérisation de la pollution et de ses impacts, station d'Ersa, Corse, juillet 2013. © Gregory Roberts.



Lancement de ballons pressurisés couche limite, pour la mesure de l'ozone et des aérosols, campagne ChArMEx 2013, Minorque, juin 2013. © François Dulac.



ULM du Karlsruhe Institute of Technology (Allemagne) équipé pour la mesure des aérosols, campagne ChArMEx 2012, Corse, juin 2012. © Gregory Roberts.



La pollution par les aérosols en Méditerranée vue de l'espace : aérosols désertiques provenant du Sahara (en beige), aérosols anthropiques exportés depuis l'Europe (en blanc au-dessus de la Grèce), et aérosols produits par les feux de biomasse (en blanc le long des côtes du Maghreb). SeaWiFS image, © NASA & Orbimage.



www.cnrs.fr



BioDivMex



Plongeurs dans un banc d'oblades à proximité de Comino, une île de Malte. © CNRS Photothèque / Thierry PEREZ.



Plongeur dans l'entrée d'une grotte sous-marine à Malte © CNRS Photothèque / Thierry PEREZ.



O3HP. © Vanina Beauchamps-Assali.



O3HP. © Vanina Beauchamps-Assali.



O3HP. © OHP/Pythéas - CNRS - AMU/ T.Gauquelin.



O3HP. © OHP/Pythéas - CNRS - AMU.



www.cnrs.fr



SICMED



Foreuse au Maroc © H. Quarouch - IRD (2014).



Semis d'oignon irrigués avec les eaux souterraines au Maroc © H. Quarouch - IRD (2014).



Tour de flux dans la plaine de Kairouan © C.Leduc IRD.



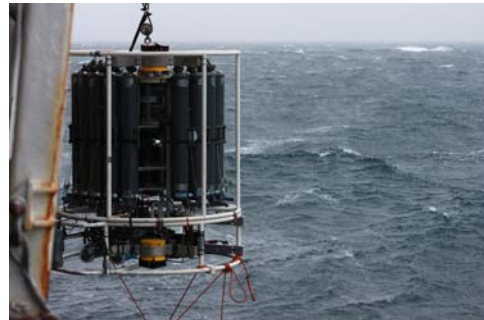
www.cnrs.fr



MERMeX



Carottier multitubes prêt à être mis à l'eau pour un prélèvement de sédiment en face de l'embouchure de l'Aude en crue © X. Durrieu de Madron MERMeX



Système de prélèvement d'eau de mer (appelé rosette) à partir d'un navire océanographique © K. Leblanc (MIO)



Récupération d'une ligne de mouillage dans le golfe du Lion à bord du NO Tethys II © X. Durrieu de Madron MERMeX



Coucher de soleil hivernal vu à bord du NO l'Atalante dans le golfe du Lion © X. Durrieu de Madron MERMeX